

N-ras mRNA 及 P<sup>21ras</sup> 表达降低，软琼脂培养能力下降<sup>[7]</sup>。本实验进一步表明，反义 N-ras<sub>1</sub> 也可抑制 BIU-87 细胞中 VEGF mRNA 的表达。有关反义癌基因抑制肿瘤细胞中 VEGF 基因表达的机理尚待研究。

### 参 考 文 献

- 1 Ferrara N, Henzel W J. Biochem Biophys Res Commun, 1989; **161**: 851
- 2 Wouck K A, Ferrara N, Winer G et al. Mol Endocrinol, 1991; **5**: 1806
- 3 Ferrara N, Winer J, Burton T et al. J Clin Invest, 1993;
- 4 Senger D R, Galli S J, Dvorak A M et al. Science, 1983; **219**: 983
- 5 Kim K J, Li Bing, Winer J et al. Nature, 1993; **362**: 841
- 6 Chomczynski P, Sacchi N. Analytical Biochem, 1987; **162**: 156
- 7 李惠芳, 周爱儒. 中华泌尿外科杂志, 1994; 待发表
- 8 葛正龙, 周爱儒. 生物化学杂志, 1992; **8** (5): 565
- 9 Breier G, Albrecht U, Sterrer S et al. Development, 1992; **114**: 521
- 10 Berkman R A, Merrill M J, Reinhold W C et al. J Clin Invest, 1993; **91**: 153
- 11 Kim K J, Li Bing, Winer J et al. Nature, 1993; **362**: 841

## TGF $\alpha$ 反义寡聚核苷酸对膀胱癌 BIU 87 细胞株的作用\*

孙丛梅 王东 周爱儒

(北京医科大学生物化学教研室, 北京 100083)

**摘要** 报道了 23 碱基组成的 TGF $\alpha$  反义寡聚核苷酸和对照寡聚核苷酸对人膀胱移行细胞癌 BIU 87 细胞增殖及其 TGF $\alpha$  mRNA 表达的作用。结果表明：TGF $\alpha$  反义寡聚核苷酸抑制体外培养的 BIU 87 细胞的增殖、DNA 合成和 TGF $\alpha$  mRNA 的表达，进一步证明了 TGF $\alpha$  在 BIU 87 细胞恶性增殖中的重要作用。

**关键词** 寡聚核苷酸, 转化生长因子  $\alpha$ , BIU 87 细胞株, 反义寡聚核苷酸

转化生长因子 (transforming growth factor  $\alpha$  TGF $\alpha$ ) 与癌瘤细胞的关系十分密切。在人的多种肿瘤组织, 癌细胞及转化细胞如涎腺癌细胞株<sup>[1]</sup>、放射线转化细胞<sup>[2]</sup>、肾癌组织中均发现有 TGF $\alpha$  的高表达。TGF $\alpha$  最主要的生物学功能是促进细胞转化，在癌瘤发生与发展中起重要作用。BIU 87 细胞株是我国以人膀胱乳头状移行上皮癌组织体外传代建立，并能在体外长期传代培养的细胞株。经各项鉴定表明有恶性细胞特性<sup>[3]</sup>。本实验室已对 BIU 87 细胞中 TGF $\alpha$  的表达和正调控进行了研究，结果表明：BIU 87 细胞中 TGF $\alpha$  mRNA 有较高表达，并与癌瘤恶性增殖有关<sup>[4]</sup>。

尽管对 TGF $\alpha$  及其表达调控促进因素的研究进行了大量工作，但对 TGF $\alpha$  表达调控中抑

制因素的研究尚缺乏直接证据。反义寡聚核苷酸以其作用的特异性而具备明显的优越性。目前已对 CSF-1<sup>[5]</sup>, bFGF<sup>[6]</sup>, TGF $\beta$ 3<sup>[7]</sup> 设计了有效的反义寡聚核苷酸，通过抑制这些生长因子的表达而抑制了肿瘤的发生、发展。但有关 TGF $\alpha$  表达的研究尚未见报道。本文以 BIU 87 细胞株为对象，合成了 23 碱基组成的 TGF $\alpha$  反义寡聚核苷酸和对照寡聚核苷酸，并研究了其对细胞生长、DNA 合成以及 TGF $\alpha$  mRNA 表达的作用，旨在进一步揭示 TGF $\alpha$  在 BIU 87 细胞恶性增殖中的重要作用，为肿瘤基因治疗提供实验基础。

自然科学基金和国家教委博士点基金项目。

收稿日期：1993-11-04。修回日期：1994-03-05。

## 1 材料和方法

### 1.1 材料

TGF $\alpha$  cDNA 探针由中国科学院上海生化所提供；RPMI 1640 为 Sigma 产品； $\alpha$ -<sup>32</sup>P-dCTP 为 Free 产品；HPLC 所用乙腈为光谱纯试剂，其余试剂均为国产或进口分析纯产品。

### 1.2 细胞培养

BIU 87 细胞株由北京医科大学泌尿所提供的。培养于含 10% 小牛血清的 RPMI 1640 培养液，小牛血清 65°C，1h 灭活。

### 1.3 寡聚核苷酸的合成与纯化

TGF $\alpha$  反义寡聚核苷酸与 TGF $\alpha$  cDNA 前 6 个密码子及其上游部位共 23 个碱基互补，序列为 5'-TCC AGC CGA GGG GAC CAT TT-TAG-3'；对照寡聚核苷酸的碱基数目及含量比例与反义寡聚核苷酸相同，但与 TGF $\alpha$  cDNA 无互补性，为 5'-GAT GAT TAC GTA ACT GGC CCGCG-3'。以上寡聚核苷酸均由 381A 型 DNA 自动合成仪合成。

寡聚核苷酸采用高压液相仪 5000 型反相 C18 柱纯化。A 液为 100mmol/L 乙酸溶液，B 液为乙腈，以 10%—17% 乙腈梯度洗脱，样品收集波长为 254nm。纯化后的样品经冷冻干燥，过滤除菌，直接加入细胞培养液中与细胞共同孵育。

### 1.4 细胞生长抑制实验

取指数生长期 BIU 87 细胞，胎盘蓝染色计数，观察细胞存活率（大于 95%）。然后在与细胞计数平行的 24 孔培养板中分别加入含 2 $\mu$ mol/L, 4 $\mu$ mol/L, 8 $\mu$ mol/L 的反义寡聚核苷酸和对照寡聚核苷酸的培养液，培养 12, 24, 48h 后进行胎盘蓝染色细胞计数，以下式计算生长抑制率： $\frac{N_n - N}{N_n} \times 100\%$   $N$  为处理后细胞计数， $N_n$  为未处理细胞计数。

### 1.5 <sup>3</sup>H-TdR 参入实验

按文献 [8] 方法进行。

$$\text{抑制率} = \frac{\text{未处理 cpm 值} - \text{实验组 cpm 值}}{\text{未处理 cpm 值}} \times 100\%$$

### 1.6 TGF $\alpha$ mRNA 斑点印渍杂交

按文献 [9] 方法进行。

## 2 实验结果

### 2.1 寡聚核苷酸 HPLC 纯化

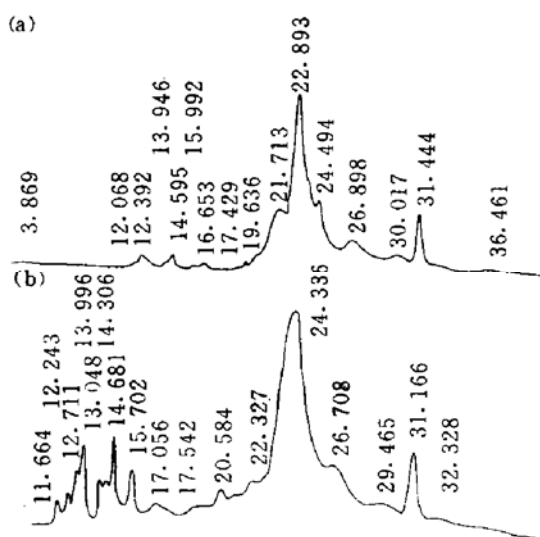


图 1 寡聚核苷酸 HPLC 纯化图谱

(a) 反义寡聚核苷酸，(b) 对照寡聚核苷酸。

图谱显示：TGF $\alpha$  反义寡聚核苷酸和对照寡聚核苷酸均以单峰形式被纯化。

### 2.2 TGF $\alpha$ 反义寡聚核苷酸对 BIU 87 细胞增殖的抑制作用

图 2 及图 3 所示结果为重复两次实验的均值。

由图 2 可知，2 $\mu$ mol/L, 4 $\mu$ mol/L, 8 $\mu$ mol/L 的 TGF $\alpha$  反义寡聚核苷酸对 BIU 87 细胞生长的抑制率分别为 31%，36%，44%，抑制作用随浓度升高而增强；而相同浓度的对照寡聚核苷酸对 BIU 87 细胞生长抑制率仅为 17%，10%，17%，且无剂量关系。说明反义寡聚核苷酸作用有一定的特异性。从图 3 还可看出，4 $\mu$ mol/L 的反义寡聚核苷酸对 BIU 87 细胞的抑制率在 12, 24, 48h 分别为 32%，36%，26%；相同浓度的对照寡聚核苷酸则为 15%，10%，5%。表明寡聚核苷酸对 BIU 87 细胞的作用与时间有关，时间过长，抑制作用逐渐降低。

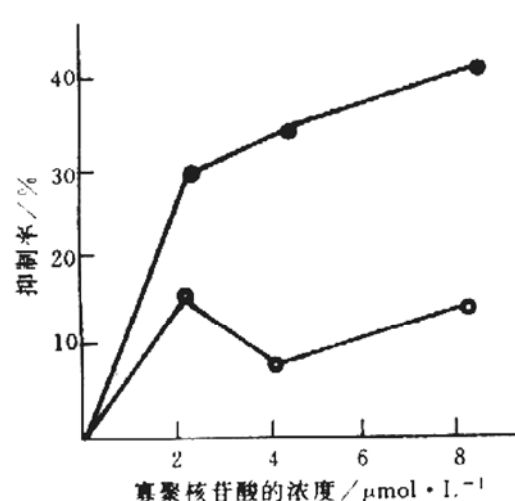


图2 不同浓度的寡聚核苷酸作用 BIU 87 细胞 24h 后对细胞生长的抑制

●—●: TGF $\alpha$  反义寡聚核苷酸, ○—○: 对照寡聚核苷酸。

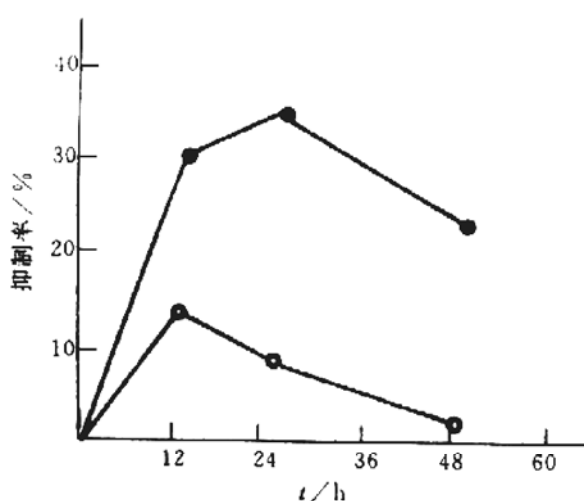


图3 4 $\mu\text{mol}/\text{L}$  寡聚核苷酸在不同时间对 BIU 87 细胞生长的抑制

●—●: TGF $\alpha$  反义寡聚核苷酸, ○—○: 对照寡聚核苷酸。

### 2.3 TGF $\alpha$ 反义寡聚核苷酸对 BIU 87 细胞 DNA 合成的作用

图4显示 8 $\mu\text{mol}/\text{L}$  寡聚核苷酸对 BIU 87 细胞  $^3\text{H}$ -TdR 参入的结果（三次重复实验的均值）。

2 $\mu\text{mol}/\text{L}$ , 4 $\mu\text{mol}/\text{L}$ , 8 $\mu\text{mol}/\text{L}$  TGF $\alpha$  反义寡聚核苷酸作用 BIU 87 细胞 24h 后对细胞  $^3\text{H}$ -TdR 参入的抑制率分别为 25.2%, 38.5%, 88.0%, 相同浓度的对照寡聚核苷酸抑制率仅为 19.5%, 17.4%, 27.0%。这表明：TGF $\alpha$

反义寡聚核苷酸比对照寡聚核苷酸更强地抑制了 BIU 87 细胞中的 DNA 合成。

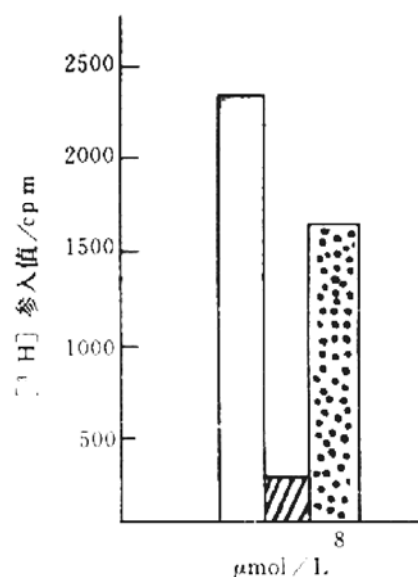


图4 8 $\mu\text{mol}/\text{L}$  寡聚核苷酸对 BIU 87 细胞  $^3\text{H}$ -TdR 参入的抑制作用

□: 无寡聚核苷酸, ▨: TGF $\alpha$  反义寡聚核苷酸, ▨: 对照寡聚核苷酸。

### 2.4 TGF $\alpha$ 反义寡聚核苷酸对 BIU 87 细胞中 TGF $\alpha$ mRNA 表达的作用

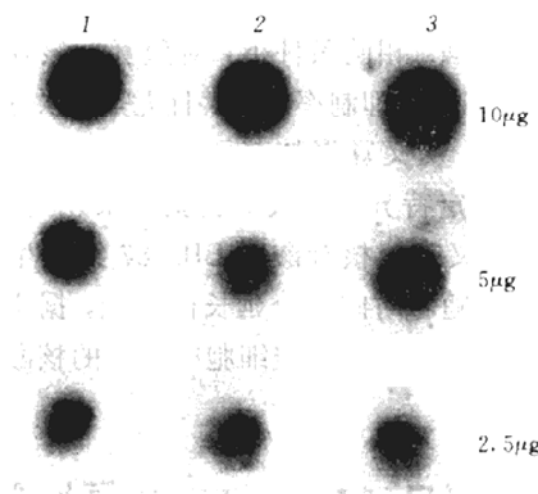


图5 BIU 87 细胞中 TGF $\alpha$  mRNA 斑点印渍杂交分析

总 RNA 10 $\mu\text{g}$ , 5 $\mu\text{g}$ , 2.5 $\mu\text{g}$ , 1: 对照组, 2: 反义组, 3: 空白组。

3 $\mu\text{mol}/\text{L}$  的 TGF $\alpha$  反义寡聚核苷酸和对照寡聚核苷酸分别处理 24h, TGF $\alpha$  mRNA 表达分别被抑制 61.4% 和 42.5%, 可见 TGF $\alpha$  反

义寡聚核苷酸对 BIU 87 细胞中 TGF $\alpha$  mRNA 的表达具有较强的抑制作用。

表 1 BIU 87 细胞中 TGF $\alpha$  mRNA 斑点杂交扫描测量

	IOD	抑制率/%
对照(空白)	0.94	
对照寡聚核苷酸	0.54	42.5
反义寡聚核苷酸	0.36	61.5

### 3 讨 论

本实验采用了两条由 23 碱基组成的寡聚脱氧核苷酸链,一条链与 TGF $\alpha$  cDNA 转录起始区及前 6 个密码子互补,可在复制、转录等水平上抑制 TGF $\alpha$  表达;另一条链所含碱基数目及比例均与前者相同,但与 TGF $\alpha$  基因无互补性,为对照寡聚核苷酸,衡量寡聚核苷酸对本实验体系的非特异性影响。

本实验中, TGF $\alpha$  反义寡聚核苷酸对 BIU 87 细胞的细胞计数及 $^3\text{H}$ -TdR 参入作用的结果基本一致:反义寡聚核苷酸可抑制 BIU 87 细胞的生长及其 DNA 合成,其抑制作用随浓度升高而增强。相同条件下,对照寡聚核苷酸对 BIU 87 细胞的抑制率较低,且无剂量关系。提示: TGF $\alpha$  反义寡聚核苷酸对 BIU 87 细胞的作用有一定特异性。从本实验结果还可看出: TGF $\alpha$  反义寡聚核苷酸对 BIU 87 细胞生长的抑制作用随着时间过分延长而降低,据文献报道认为是寡聚核苷酸被细胞中释放的核酸酶所降解<sup>[8]</sup>。

为进一步了解反义寡聚核苷酸对 BIU 87 细胞抑制作用的机理,本实验应用分子杂交分析显示:反义寡聚核苷酸可明显抑制 TGF $\alpha$  mRNA 的表达,但对照寡聚核苷酸也显示出一定的抑制作用。可能是寡聚核苷酸本身对细胞产生的非特异性毒副作用。在 CSF-1, TGF $\beta$ 3 和 bFGF 的反义寡聚核苷酸的研究中也发现有高非特异性毒副作用<sup>[5-7]</sup>,这是目前反义寡聚核苷酸应用所面临的一个重要问题,如何减少其毒副作用也是当前研究反义寡聚核苷酸的一个主要方面。

该反义寡聚核苷酸对 BIU 87 细胞中 TGF $\alpha$  蛋白表达水平的作用有待进一步研究。

本实验进一步证实了 TGF $\alpha$  在 BIU 87 细胞增殖中的重要作用,并为膀胱癌的反义寡聚核苷酸治疗提供了实验基础。

### 参 考 文 献

- 胡征,周爱儒. 北京医科大学学报, 1991; 23: 286
- 石东平,周爱儒. 生物化学杂志, 1991; 7: 455
- 俞利章. 中华泌尿外科杂志, 1989; 10: 131
- 葛正龙,周爱儒. 生物化学杂志, 1991; 8: 486
- Birchenall-Roberts M C, Ferrer C, Ferrer D et al. J Immunology, 1990; 145: 3290
- Becker D, Meier C N, Merlyn M. EMBO J, 1989; 8: 3685
- Potts J D, Dagle J M, Walder J A et al. Proc Natl Acad Sci USA, 1991; 88: 1516
- 许毅,邓国仁. 中国科学 B 辑, 1990; 1: 64
- Sambrook J, Fritsch E F, Maniatis T. Molecular Cloning, 2nd ed, New York: CSHL Press, 1989

## 人重组 IL6/IL2 融合蛋白的变性、复性及纯化\*

赵春华 凌世淦 毛宁 唐佩弦

(军事医学科学院基础医学研究所, 北京 100850)

**摘要** 经超声破碎, 分离已表达 CH925 包涵体, 较系统地研究变性剂浓度、融合蛋白浓度对蛋白折叠的影响。在还原型及氧化型谷胱甘肽复性条件下, 成功地将融合蛋白 CH925 折叠成具有 IL6 及 IL2 双

\* 国家青年“863”基金资助项目。收稿日期 1993-10-26, 修回日期 1994-02-28

mRNA expression.

**Key words** vascular endothelial growth factor. Dot blot, tumor, SGC-7901 cell line, mRNA expression

**The Inhibition of BIU87 Cell Proliferation and TGF $\alpha$  mRNA Expression by an TGF $\alpha$  Antisense Oligodeoxynucleotide.** Sun Congmei. Wang Dong, Zhou Airu. (*Department of Biochemistry, Beijing Medical University, Beijing 100083*). *Prog. Biochem. Biophys. (China)*. 1994; **21** (5) : 429—432

Two 23-mer unmodified oligodeoxynucleotides have been synthesized, one to hybridize with the region across the transcription initiation site of TGF $\alpha$  cDNA called antisense, and the second with an identical base composition, but the nucleotide sequence randomized. The random oligodeoxynucleotide was used to control for any non-specific effects of the oligodeoxynucleotides. TGF $\alpha$  antisense inhibited cell proliferation and DNA synthesis from 31% to 44% and 25.8% to 88.0% respectively. This effect is specific and dose-responded. However, at the same condition, the inhibition by random is only 10% to 17% and 17% to 27%. This effect is not dose-responded. By RNA dot blot analysis, the addition of 3  $\mu$ mol/L TGF $\alpha$  antisense and random upon BIU87 cells resulted in 61.4% and 42.5% inhibition in TGF $\alpha$  mRNA expression respectively. These results suggested that TGF $\alpha$  may play an important role in the proliferation of BIU87 cell line and provide a rational basis for the development of selective cancer therapeutical approaches.

**Key words** oligodeoxynucleotide. TGF $\alpha$  (transforming growth factor $\alpha$ ). BIU87 cell, antisense oligodeoxynucleotide

**Purification and Renaturation of Recombinant Fusion Protein IL6/IL2.** Zhao Chunhua, Ling Shigan, Mao Ning, Tang Peihien. (*Institute of Basic Medical Science, AMMS, Beijing 100850*). *Prog. Biochem. Biophys. (China)*. 1994; **21** (5) : 432—435

The expressed CH925 was aggregated into inclusion bodies (IB) in *E. coli* cytoplasm. The IBs were isolated by centrifugation and sonication. CH925 were refolded and reoxidized in a glutathione redox system following denaturation of the IBs in 7mol/L guanidine hydrochloride. The specific activities of IL2 and IL6 assayed by CTLL-2 and 7TD1 cell line were  $2.2 \times 10^6$  U/mg and  $2.3 \times 10^8$  U/mg, respectively, following renaturation. The renatured CH925 was chromatographed through DEAE-Sepharose 6B column and Sephadex column. The active fractions were pooled and applied to HPLC with reversed-phase C-18 column, while CH925 was eluted through 10%—70% acetonitrile gradient. It showed only one protein peak and SDS-PAGE confirmed that the purified CH925 was almost homogeneous.

**Key words** fusion protein IL6/IL2, denaturation, renaturation, protein purification

**Effects of C-17 Deletion in the Spacer on the Strength of  $\beta$ -Lactamase Gene Promoter.** Sun Naien, Wang Yan, Xie Wei, Zhu Dexu. (*National Laboratory of Medicine Biotechnology, Department of Biochemistry, Nanjing University, Nanjing 210008*). *Prog. Biochem. Biophys. (China)*. 1994; **21** (5) : 436—439

The C : G base-pair at position —17 in the spacer of  $\beta$ -lactamase gene promoter was removed by restriction with BspH I, partial filling-in with Klenow fragment, and trimming with mung bean nuclease. The  $\beta$ -lactamase activities of both bacteria harboring the wild-